

# 偏微分方程复习

## 问题

1、某个物理量(电场强度、电势、磁感应强度、声压、杂质浓度)在空间的某个区域中的分布情况，以及它怎样随着时间而变化。解决这些问题，须掌握所研究的物理量在空间中的分布规律和在时间中的变化规律。须考虑到研究对象处在怎样的特定“环境”中，边界所处的物理状况，即边界条件。须考虑到研究对象的特定“历史”，即它在早先某个所谓“初始”时刻的状态，即初始条件。边界条件和初始条件反映了具体问题的特定环境和历史。在数学上，边界条件和初始条件合称为定解条件。

2、

拉普拉斯方程  $\nabla^2 u = 0$

泊松方程  $\nabla^2 u = f(x, y, z)$

扩散或热流方程  $\nabla^2 u = \frac{1}{\alpha^2} \frac{\partial u}{\partial t}$

波动方程  $\nabla^2 u = \frac{1}{v^2} \frac{\partial^2 u}{\partial t^2}$

亥姆霍兹方程  $\nabla^2 F + k^2 F = 0$

薛定谔方程  $\frac{-h^2}{2m} \nabla^2 \Psi + V\Psi = ih \frac{\partial}{\partial t} \Psi$

3、拉普拉斯方程;矩形长平板稳态温度

例题

4、扩散方程

例题

5、波动方程

例题

6、圆柱体稳态温度

例题

7、圆膜振动

例题

8、球体稳态温度

例题

# 偏微分方程

## 1 介绍

数学物理学里的许多问题都涉及到部分偏微分方程的解。不同的物理问题，偏微分方程却可能是相同的。本章的例子讨论了一些问题，其数学方法适用于更多问题。下面概述介绍物理问题及其偏微分方程。

$$\text{拉普拉斯方程} \quad \nabla^2 u = 0 \quad (1.1)$$

注：复习

符号  $\nabla$  是一个矢量微分算子，三维情况下  $\nabla = \frac{\partial}{\partial x} \mathbf{i} + \frac{\partial}{\partial y} \mathbf{j} + \frac{\partial}{\partial z} \mathbf{k}$   
 $\nabla^2$ ，数量积，为  $\frac{\partial^2}{\partial x^2} + \frac{\partial^2}{\partial y^2} + \frac{\partial^2}{\partial z^2}$ 。

$\nabla^2$  称拉普拉斯算子， $\nabla^2 u$ ，即  $\frac{\partial^2 u}{\partial x^2} + \frac{\partial^2 u}{\partial y^2} + \frac{\partial^2 u}{\partial z^2}$

$$\nabla u = \frac{\partial u}{\partial x} \mathbf{i} + \frac{\partial u}{\partial y} \mathbf{j} + \frac{\partial u}{\partial z} \mathbf{k}$$

$\nabla \cdot (v_x \mathbf{i} + v_y \mathbf{j} + v_z \mathbf{k})$ ，数量积，为  $\frac{\partial v_x}{\partial x} + \frac{\partial v_y}{\partial y} + \frac{\partial v_z}{\partial z}$

$\nabla \times (v_x \mathbf{i} + v_y \mathbf{j} + v_z \mathbf{k})$ ，矢量积，为

$$\begin{pmatrix} \mathbf{i} & \mathbf{j} & \mathbf{k} \\ \frac{\partial}{\partial x} & \frac{\partial}{\partial y} & \frac{\partial}{\partial z} \\ v_x & v_y & v_z \end{pmatrix}$$

- 问题：梯度，散度，旋度是什么？

函数 $u$ ，或是无质量区域的引力势函数，或是无电荷区域的静电势，或是温度不随时间变化区域，不含热源的稳态温度，或是不可压缩流体的速度势，没有涡流或涡流源。

$$\text{泊松方程} \quad \nabla^2 u = f(x, y, z) \quad (1.2)$$

函数 $u$ 表示包含质量、电荷或热或流体源区域，适用拉普拉斯方程的各种情况的物理量。函数 $f(x, y, z)$ 叫做源密度，在电学与电荷密度成正比。

$$\text{扩散或热流方程} \quad \nabla^2 u = \frac{1}{\alpha^2} \frac{\partial u}{\partial t} \quad (1.3)$$

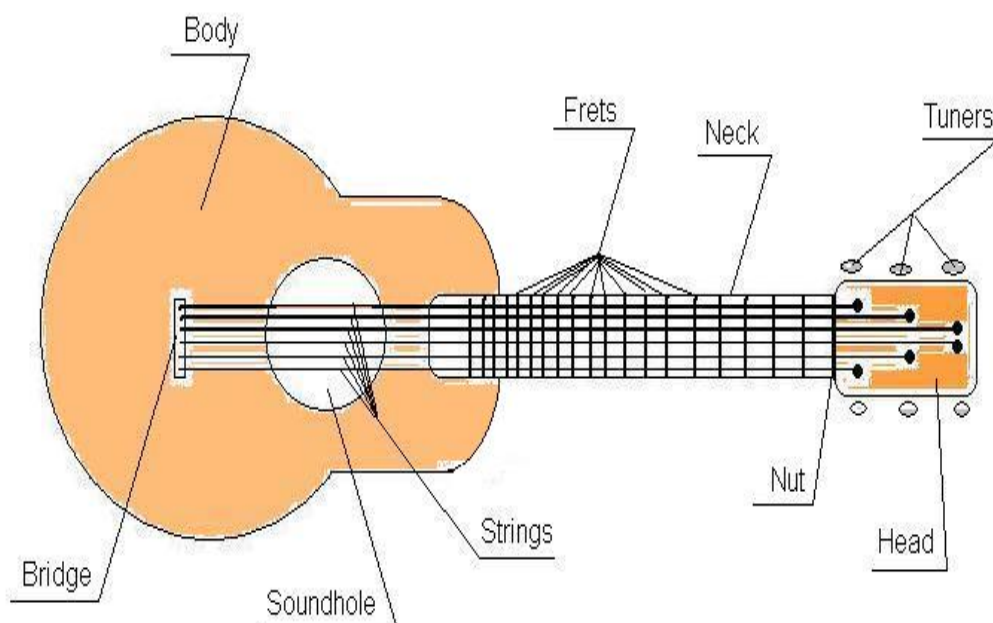
$u$ 是无热源区域非稳态温度，温度随时间变化。或是扩散物质的浓度，如化学物质，或像中子这样的粒子。 $1/\alpha^2$  常数，常称扩散系数。

$$\text{波动方程} \quad \nabla^2 u = \frac{1}{v^2} \frac{\partial^2 u}{\partial t^2} \quad (1.4)$$

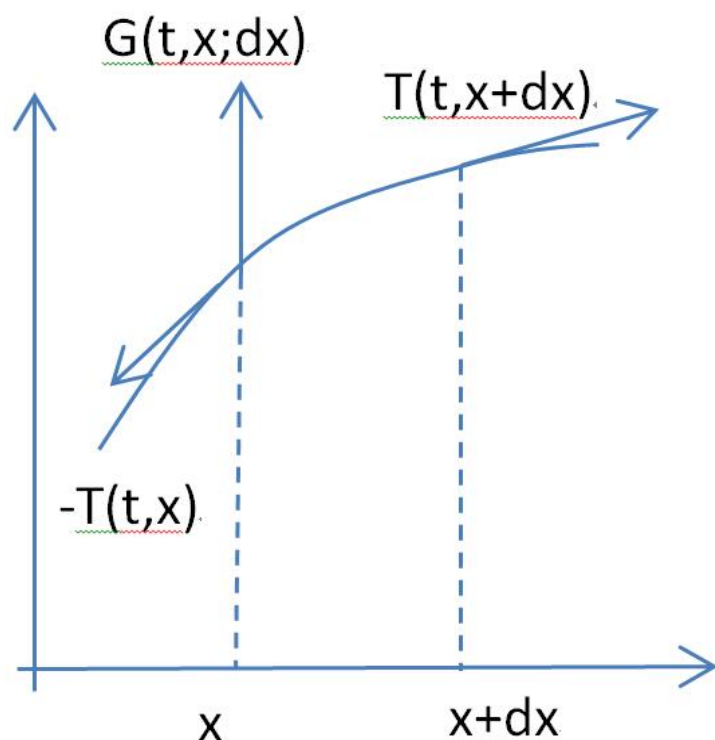
函数 $u$ 可表示振动弦或膜的位移。在声学上，振动介质如气体、液体或固体的位移。在电场中， $u$ 是电路电流或电势。在电磁波中，如光、无线电波， $u$ 是电场强度 $E$ 或磁感应强度 $B$ 的组成部分。 $v$ 是波速，如对真空中的

光，是光速 $c$ ，对于声波来说，是声音在介质中传播的速度。 $\nabla^2 - \frac{1}{c^2} \frac{\partial^2}{\partial t^2}$ 为达朗贝尔运算符

- 弦的横振动



一根弦在内部张力作用下处于平衡位置，某个微小扰动引起部分质点的位移，内部张力又使邻近的部分随之产生位移，形成称为波的运动。建立物理模型。假设弦均匀细长，横截面可忽略而视作线，线密度为常数，又设弦柔软弹性，可任意弯曲，张力满足胡克定律，弦的运动在同一平面进行，每个质点的位移都是横向的，即垂直于平衡位置，且绝对位移和相对位移都很小，这些假设是推导方程过程中自然提出的，在物理问题中也是合理的。



取弦在自身张力作用下的平衡位置所在直线为 $x$ 轴，横向位移方向为 $u$ 轴，设 $t$ 时刻弦上 $x$ 处的质点相对

于平衡位置的横向位移 $u = u(t, x)$ 为未知函数. 采用微元分析法. 在弦上任取微元 $[x, x + dx]$ ，微分记号 $dx$ 表示一个无穷小改变量. 此微元可视作质量为 $\rho dx$ 的质点，在 $t$ 时刻的运动遵循牛顿第二定律

$$F = ma$$

微元所受的外力有左端点的张力 $-T(t, x)$ ，右端点的张力 $T(t, x + dx)$ ，和加在微元上的垂直于 $x$ 轴的外力 $G(t, x; dx)$ . 如果线密度 $\rho$ 为常数， $t$ 时刻作用于 $x$ 处的单位长度上的外力，即外力密度 $g(t, x)$ 已知，张力 $T(t, x)$ 关于 $x$ 可微，则微元服从的牛顿第二定律可具体表为

$$\begin{aligned}\rho dx \frac{\partial^2 u}{\partial t^2} \vec{u} &= -\vec{T}(t, x) + \vec{T}(t, x + dx) + G(t, x; dx) \\ &= \frac{\partial \vec{T}}{\partial x} dx + g(t, x) dx \vec{u}\end{aligned}$$

其中第二个等号忽略了 $dx$ 的高阶无穷小. 其分量形式为

$$\begin{aligned}\frac{\partial T_1}{\partial x} &= 0 \\ \rho \frac{\partial^2 u}{\partial t^2} &= \frac{\partial T_2}{\partial x} + g(t, x)\end{aligned}$$

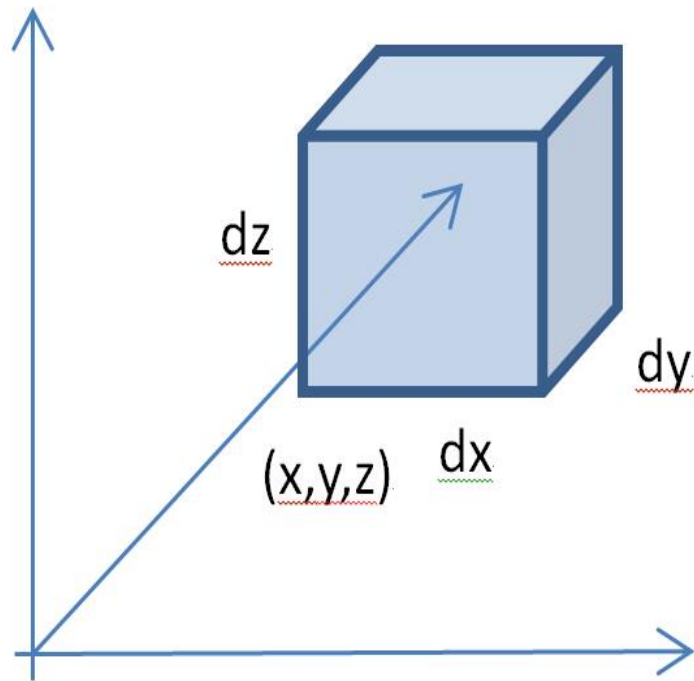
$T_1, T_2$ 分别是张力 $T$ 在 $x$ 和 $u$ 方向的分量. 这就是弦振动满足的基本偏微分方程组. 由于张力沿弦的切向作用, 有 $T_2 = T_1 \frac{\partial u}{\partial x}$ 代入, 可得

$$\rho \frac{\partial^2 u}{\partial t^2} = T_1(t) \frac{\partial^2 u}{\partial x^2} + g(t, x)$$

进一步约简

$$\frac{\partial^2 u}{\partial t^2} = a^2 \frac{\partial^2 u}{\partial x^2} + f(t, x), \text{ 其中 } a = \sqrt{\frac{T}{\rho}}, f(t, x) = \frac{g(t, x)}{\rho}$$

弦横振动的数学模型是偏微分方程, 为一维波动方程. 对于经典运动问题, 可以建立更一般的固体弹性波方程, 流体波方程, 电磁波方程等, 在一些重要的特殊情况下, 这些方程都可约化为波动方程.



傅里叶热传导定律：热量从温度高处流向低处，流动热量的多少与温度差成比例。

$$Q_n = -k(x, y, z) \frac{\partial u}{\partial n} \vec{n}$$

$$\text{亥姆霍兹方程} \quad \nabla^2 F + k^2 F = 0 \quad (1.5)$$

函数F表示扩散方程或波动方程解的空间部分，即与时间无关的部分。

$$\text{薛定谔方程} \quad \frac{-h^2}{2m} \nabla^2 \Psi + V\Psi = i\hbar \frac{\partial}{\partial t} \Psi \quad (1.6)$$

量子力学波动方程。在方程中， $\hbar$ 是普朗克常数除以 $2\pi$ ， $m$ 是粒子质量， $i = \sqrt{-1}$ ， $V$ 是粒子的势能。波函数 $\Psi$ 是复数，其绝对平方与粒子的位置概率成正比。



现在我们主要关心方程的解，不是方程推导。可以认为在实验中以上物理量满足给定的方程。这些方程也可以从简单的实验假设中推导出来。在第6章第10节和第11节中，考虑了流体的流动。第六章，问题10.15 证明了不含源或汇区域中不可压缩流体中， $\nabla \cdot \mathbf{v} = 0$ 。如果没有漩涡，即无旋流，旋度 $\text{curl} \mathbf{v} = 0$ ， $\mathbf{v}$ 为标量函数的梯度： $\mathbf{v} = \nabla u$ 。结合这两个方程有 $\nabla \cdot \nabla u = \nabla^2 u = 0$ 。函数 $u$ 称为速度势，在给定条件下满足拉普拉斯方程。还概述了一些类似例子。

下面几节讨论分离变量法，这是对大量物理问题较有效的偏微分方程解法，但与第8章常微分方程中的方法不同。在第2至4节为直角坐标系中用傅里叶级数法求解。往后章节用其他坐标系如圆柱坐标系、球面坐标系，用勒让德或贝塞尔级数求解。

#### • 小结

$$\text{拉普拉斯方程} \quad \nabla^2 u = 0$$

$$\text{泊松方程} \quad \nabla^2 u = f(x, y, z)$$

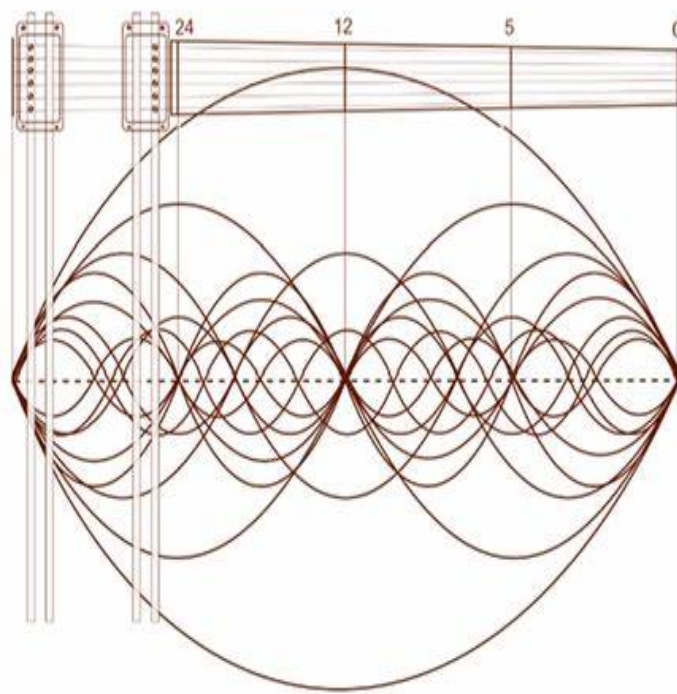
$$\text{扩散或热流方程} \quad \nabla^2 u = \frac{1}{\alpha^2} \frac{\partial u}{\partial t}$$

$$\text{波动方程} \quad \nabla^2 u = \frac{1}{v^2} \frac{\partial^2 u}{\partial t^2}$$

$$\text{亥姆霍兹方程} \quad \nabla^2 F + k^2 F = 0$$

$$\text{薛定谔方程} \quad \frac{-h^2}{2m} \nabla^2 \Psi + V \Psi = i\hbar \frac{\partial}{\partial t} \Psi$$

- 现象（自然、人、社会）是复杂的。建模起点。弦振动方程是在一定的理想化假设下导出的。如果存在其他不能忽略的因素，比如弦在黏稠液体中振动，阻尼必须考虑。
- 偏微分方程的解是很复杂的。简单的弦振动方程解



- 一般的偏微分方程，找出通解非常困难。
- 把确定运动的制约条件称为定解条件。初始条件, 边界条件
- 初始条件。某一时刻的状态将影响该时刻以后的运动过程，该时刻的运动状态便是初始条件。如弦振动。初值问题
- 边界条件。如弦振动。边值问题

## 第一节问题

- 1. 静电学中设  $\nabla \cdot E = \rho/\epsilon_0$ ,  $E = -\nabla\phi$ ,  $E$  = 电场,  $\rho$  = 电荷密度,  $\epsilon_0$  = 常数,  $\phi$  = 静电势。证明静电势在无电荷区满足拉普拉斯方程 (1.1), 在电荷密度  $\rho$  区域满足泊松方程 (1.2)
- 2. (a) 证明正弦波方程  $u = \sin(x - vt)$ , 见第7章, 图2.3, 满足波动方程 (1.4)。证明在一般情况下,  $u = f(x - vt)$  和  $u = f(x + vt)$  满足波动方程,  $f$  是二次可导的函数。这是波方程的 d' Alembert 解。(见第4章, 第11节, 第1节)。函数  $f(x - vt)$  代表波动在  $x$  正方向运动移动,  $f(x + vt)$  代表向相反方向移动。

(b) 证明 $u(r, t) = (1/r)f(r - vt)$ 和 $u(r, t) = (1/r)f(r + vt)$ 球坐标下满足波动方程。用 (7.1)  $\nabla^2 u$  第一项  $u$ ,  $u$  是  $\theta$  和  $\phi$  独立变量。这些函数表示球面波从原点向外扩散, 或汇聚到原点。

- 3. 电动力学, 在空间中麦克斯韦方程组成立

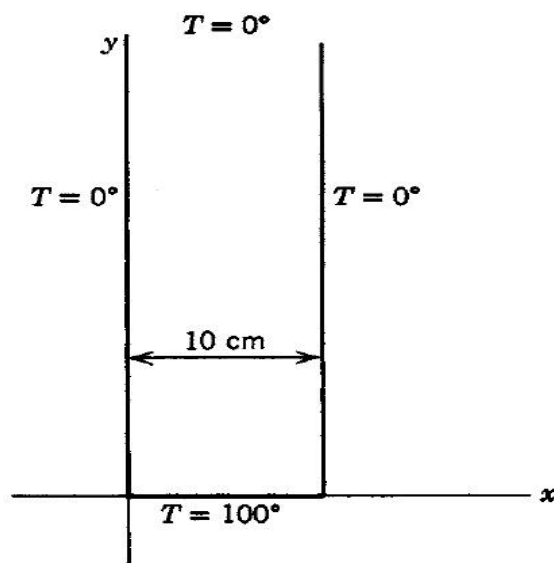
$$\begin{aligned}\nabla \cdot E &= 0 & \nabla \cdot B &= 0 \\ \nabla \times E &= -\frac{\partial B}{\partial t} & \nabla \times B &= \frac{1}{c^2} \frac{\partial E}{\partial t}\end{aligned}$$

$E$  和  $B$  是电场和磁场,  $c$  是真空中光速。证明  $E$  或  $B$  分量都满足  $v = c$  波动方程 (1.4)

- 4. 导出热流方程 (1.3) 如下: 穿过表面热量  $Q$  与温度梯度  $(-\nabla T) \cdot n$  法向量成负比例。比较第六章方程 (10.4), 将水流应用于热流。证明单位时间单位体积热量比与  $\nabla \cdot \nabla T$  成正比。  $\partial T / \partial t$  正比于热量的增加, 证明  $T$  满足 (1.3)。

## 2 拉普拉斯方程; 矩形长平板稳态温度

求解问题: 长矩形金属板有两长边, 远端为温度为 0, 底部温度为 100 (图 2.1)。平板宽度 10 厘米。求平板内稳态温度分布。



为简化问题，假设平板长度比宽度长得多，在y方向上延伸近似于无穷远处。称为半无限板。如果关注的是不接近远端的温度，这个近似是可以的。

在没有热源的平板内部，温度T满足拉普拉斯方程

$$\nabla^2 T = 0 \quad \text{或} \quad \frac{\partial^2 T}{\partial x^2} + \frac{\partial^2 T}{\partial y^2} = 0 \quad (2.1)$$

平板边界为矩形，给出了在直角坐标系中的 $\nabla^2$ 。平板在二维空间中，忽略了z项。用以下公式解方程：

$$T(x, y) = X(x)Y(y) \quad (2.2)$$

此式中X是只有一个变量x的函数，Y也是只有变量y的函数。怎么知道解是这种形式呢？它还不是最终答案。一旦得到了式(2.2)的解，将其组合起来才可得解。注意，(2.1)解之和也是(2.1)的解。将(2.2)代入(2.1)，得到

$$Y \frac{d^2 X}{dx^2} + X \frac{d^2 Y}{dy^2} = 0 \quad (2.3)$$

此时 $X$ 只依赖于 $x$ ， $Y$ 只依赖于 $y$ ，可用导数代替偏导数。(2.3)除以 $XY$ ，得

$$\frac{1}{X} \frac{d^2 X}{dx^2} + \frac{1}{Y} \frac{d^2 Y}{dy^2} = 0 \quad (2.4)$$

下一步是分离变量的关键。(2.4)中第一项是关于独立变量 $x$ 的函数，第二项是关于独立变量 $y$ 的函数，两项都是常数。 $u = \sin t$ 是 $u = \ddot{u}$ 的解，把 $u = \sin t$ 代入微分方程， $\ddot{u} = u$ 成为 $-\sin t = -\sin t$ ，方程对所有 $t$ 值成立。对一个方程，代入微分方程解，就得到变量的等式。在第12章第1节和第2节中，微分方程级数解由此方式进行。(2.1)至(2.4)中有两个独立变量 $x$ 和 $y$ ，(2.2)是(2.1)的一个解，这意味着：(2.4)是独立变量 $x$ 和 $y$ 的等式。而(2.4)是将(2.2)代入(2.1)得到的。换句话说，如果(2.2)是(2.1)的解，(2.4)必满足两个独立变量 $x$ 和 $y$ 任何值和所有值。因 $X$ 是只有变量 $x$ 的函数， $Y$ 是只有变量 $y$ 的函数，(2.4)第一项是只有 $x$ 的函数，第二项是只有 $y$ 的函数，假设把特定的 $x$ 代入第一项，第一项是常数。要满足(2.4)，第二项必须减去相同的常数。

当 $x$ 保持不变时 $y$ 变化，因 $x$ 和 $y$ 是独立的，对固定的 $x$ 和任意的 $y$ ，(2.4)都是恒等式，因此第二项在 $y$ 变化时保持不变，为常数。类似地，如果固定 $y$ ，让 $x$ 变化，(2.4)的第一项是常数。简单地说，方程 $f(x) = g(y)$ ，有 $x$ 和 $y$ 独立变量，只有当两个函数是相同的常数时才是恒等式。这是分离变量过程的基础。从(2.4)可得

$$\begin{aligned} \frac{1}{X} \frac{d^2 X}{dx^2} &= -\frac{1}{Y} \frac{d^2 Y}{dy^2} = \text{const.} = -k^2, k \geq 0 \text{ 或} \\ X'' &= -k^2 X \quad Y'' = k^2 Y \end{aligned} \quad (2.5)$$

返回

常量 $k^2$ 称为分离常量, (2.5)的解为: (见[常微分方程解](#))

$$X = \begin{cases} \sin kx, \\ \cos kx \end{cases} \quad Y = \begin{cases} e^{ky}, \\ e^{-ky} \end{cases} \quad (2.6)$$

(2.1)的解为

$$T = XY = \begin{cases} e^{ky} \\ e^{-ky} \end{cases} \begin{cases} \sin kx \\ \cos kx \end{cases} \quad (2.7)$$

在(2.7)中, 四个解都不满足给定的边界温度。要把(2.7)的解通过选择合适的常数 $k$ 组合起来, 以满足给定的边界条件。因微分方程(2.1)是线性的, (2.1)的任何线性组合都是(2.1)的解(参见第3章第7节, 第8章第1节和第6节)。设定 $k$ 大于0, (见问题5)。因边界条件 $T \rightarrow 0$ 时 $y \rightarrow \infty$ , 而 $e^k y$ 不符合, 先舍去。同样, 因 $x = 0$ 时 $T = 0$ , 舍去含有 $\cos kx$ 的解。只剩下了 $e^{-ky} \sin kx$ ,  $k$ 值仍待确定。当 $x = 10$ 时,  $T = 0$ , 即 $\sin(10k) = 0$ , 则 $k = \pi n/10$ ,  $n = 1, 2, \dots$ 。对任何整数 $n$ , 解

$$T = e^{-n\pi y/10} \sin \frac{n\pi x}{10} \quad (2.8)$$

在 $T = 0^\circ$ 的三条边满足给定的边界条件

当 $y = 0$ 时, 有 $T = 100^\circ$ 。对于任何 $n$ , 这个条件都不满足(2.8), 但(2.8)的线性组合是(2.1)的解。为此求满足 $y = 0$ 时,  $T = 100^\circ$ 的线性组合。对所有 $n$ , 用无穷级数表示 $T$

$$T = \sum_{n=1}^{\infty} b_n e^{-n\pi y/10} \sin \frac{n\pi x}{10} \quad (2.9)$$

对 $y = 0$ ，有 $T = 100^\circ$ 。由 $y = 0$ 从(2.9)得到

$$T_{y=0} = \sum_{n=1}^{\infty} b_n \sin \frac{n\pi x}{10} = 100 \quad (2.10)$$

这是 $l = 10$ 时， $f(x) = 100$ 的傅里叶级数（第7章，第9节）。用第7章的方法计算系数 $b_n$ 可得

$$\begin{aligned} b_n &= \frac{2}{l} \int_0^l f(x) \sin \frac{n\pi x}{l} dx \\ &= \frac{2}{10} \int_0^{10} 100 \sin \frac{n\pi x}{10} dx \\ &= \begin{cases} \frac{400}{n\pi}, & n \text{ 为奇数} \\ 0, & n \text{ 为偶数} \end{cases} \end{aligned}$$

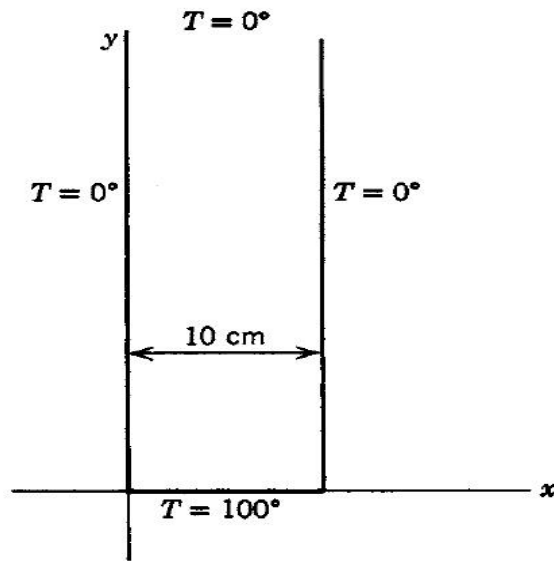
$$T = \frac{400}{\pi} (e^{-\pi y/10} \sin \frac{\pi x}{10} + \frac{1}{3} e^{-3\pi y/10} \sin \frac{3\pi x}{10} + \cdots) \quad (2.12)$$

如果 $\pi y/10$ 不是太小，级数收敛很快，方程（2.12）可用于计算（参见问题6）。例如，在平板的中心线 $x=5$ ， $y=5$ 时，有

$$T = \frac{400}{\pi} (e^{-\pi/2} \sin \frac{\pi}{2} + \frac{1}{3} e^{-3\pi/2} \sin \frac{3\pi}{2} + \cdots) \approx 26.1 \quad (2.13)$$

为描述温度在平板随 $x$ 和 $y$ 变化，可用计算机绘制出（2.12）的 $T(x, y)$ 几项的三维图形。或绘出二维等高线图，表示等温过程，即常数 $T$ 的曲线。如果底边温度不是 $100^\circ\text{C}$ 而是函数 $f(x)$ ，其他三条边都是 $0^\circ\text{C}$ ，可

用同样的方法求解。只需用傅里叶级数展开给定的 $f(x)$ ，并把系数代入(2.9)。



考虑30厘米高，顶部边缘 $T = 0^\circ\text{C}$ ，其他维度和温度如图2.1所示。这时不能舍去 $e^{ky}$ 解，因 $y$ 并不是无限长的，可用线性组合 $ae^{-ky} + be^{ky}$ 来代替 $e^{-ky}$ ，当 $y = 30$ 时， $e^0 - e^0 = 0$ 等于0。最方便的方法是使用组合

$$\frac{1}{2}e^{k(30-y)} - \frac{1}{2}e^{-k(30-y)} \quad (2.14)$$

上式就是设 $a = 1/2e^{30k}$ ， $b = -1/2e^{-30k}$ 而得。当 $y = 30$ ， $e^0 - e^0 = 0$ ，满足(2.14)。这时(2.14)即为 $\sinh k(30 - y)$ （见第2章，12节），这样对有限平板，解为：

$$T = \sum_{n=1}^{\infty} B_n \sinh \frac{n\pi}{10} (30-y) \sin \frac{n\pi x}{10} \quad (2.15)$$

在平板三个 $T = 0$ 边，级数每一项都是0。 $y = 0$ 时， $T = 100$ ：



$$T_{y=0} = 100 = \sum_{n=1}^{\infty} B_n \sinh(3n\pi) \sin \frac{n\pi x}{10} = \sum_{n=1}^{\infty} b_n \sin \frac{n\pi x}{10} \quad (2.16)$$

$b_n = B_n \sinh 3n\pi$  或  $B_n = b_n / \sinh 3n\pi$ 。计算  $b_n$ ，求解  $B_n$ ，代入 (2.15) 得到有限平板的温度分布：

$$T = \sum_{\text{odd } n} \frac{400}{n\pi \sinh 3n\pi} \sinh \frac{n\pi}{10} (30-y) \sin \frac{n\pi x}{10} \quad (2.17)$$

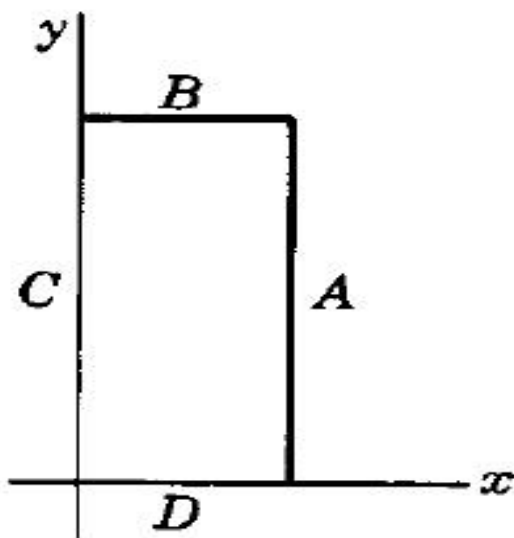
在 (2.12) 和 (2.17) 中，函数  $T(x, y)$  满足 (2.1) 和所有给定的边界条件。对于有边界温度的有界区域，这是一个实验事实。这也可以用数学方法证明（见第16题和第14章，第11章38节）。只有一个  $T(x, y)$  满足拉普拉斯方程和给定的边界条件。因此 (2.17) 是平板所需要的解。也可以证明，在  $\infty$ ， $T \rightarrow 0$  的半无限板上只有一个解。因此 (2.12) 是满足条件的解。

为什么把 (2.5) 的常数写成  $-k^2$ ，如果用  $+k^2$  情况怎么样。就微分方程的解而言，关心使用  $+k^2$  正确性。代替 (2.7) 可得

$$T = XY = \begin{Bmatrix} e^{kx} \\ e^{-kx} \end{Bmatrix} \begin{Bmatrix} \sin ky \\ \cos ky \end{Bmatrix} \quad (2.18)$$

假设  $k$  是实数。(2.18) 虚数  $k$  也可得 (2.7) 解组合，见问题5。(2.18) 的解不能用于半无限平板问题求解，因为  $y \rightarrow \infty$  时，都不趋向于零，而在  $x = 0$  和  $x = 10$  的情况下， $e^{kx}$  和  $e^{-kx}$  的线性组合不能为零。如果考虑半无限平板，长边与  $x$  轴平行，而不是  $y$  轴，而沿着  $y$  轴的短端  $T=100$ ，那么

(2.18) 为解之一。或者，对于有限平板，如果  $100^\circ$  的边沿着  $y$  轴，则需要 (2.18)。



如果两相邻边保持 $100^\circ$ ，另两边保持 $0^\circ$ ，如何求出平板温度分布。或者，四条边都给了值。我们可以通过已知解的组合求问题的解。平板边为A、B、C、D（图2.2）。如果A、B和C保持 $0^\circ$ ，D保持 $100^\circ$ ，沿D边设x轴，用(2.17)的方法，可以求出温度分布。假设同样的平板，A、B、C边保持 $0^\circ$ ，D边保持 $100^\circ$ ，也是同样的问题，但这次用解(2.18)。或者为了减少工作，同样用(2.17)，沿C边设x轴，在结果中交换x和y，获得了与图2.2一样的两个解（一个是C在 $100^\circ$ ，一个是D在 $100^\circ$ ），把这两解加起来。结果是微分方程(2.1)的解（线性：任意两个解之和也是解）。边界上的温度和内部的温度是两个解相加温度之和，也就是，A边 $0^\circ$ ，B边 $0^\circ$ ，C边 $100^\circ$ ，D边是 $100^\circ$ ，这是须满足的边界条件。因此，两个简单问题的解之和给出了复杂问题的解（参见问题11到13）。

总结一下分离变量。后面讨论偏微分方程也用到分离变量，基本是一样的。分离变量法是，先设定一个解为独立变量的函数的乘积，如

(2.2)，由此可把偏微分方程分解成几个常微分方程，如(2.5)。求解常微分方程，这些解可能是指数函数，三角函数，幂（正或负），贝塞尔函数，勒让德多项式等等。对任何分离常数所得的解的线性组合，都是偏微分方程的解。问题变成确定分离常数的值，及满足给定边界或初始条件的线性组合。

在给定的边界条件下，求解微分方程解问题称为边界值问题。这些问题常常导致特征值问题。参见第3章11节，第12章2节结尾。在特征值问题中，参数值选定，则解满足给定条件。分离常数就是这样的参数。分离常数的值通过满足边界条件而确定，如在(2.8)，由条件当 $x = 10, T = 0^\circ$ ，求取了 $k = n\pi/10$ 。分离常数的结果值称为特征值，与特征值对应的微分方程的解称为特征函数。也有可能在偏微分方程中除了分离常数之外还有一个参数，如(1.6)中的Schrodinger方程。这个参数的可能值也称为特征值，由特征值方程的解满足特定的要求，相应的解被称为特征函数。

求出特征函数后，下一步是把给定的函数按边界条件或初始条件展开。例如(2.10)和(2.16)，及后面章节的例子。特征函数是函数展开的一组基函数，参见第7章第8节和第12章第6节。选择函数满足给定的边界条件或初始条件，问题的基函数于是确定，如(2.7)的 $e^{-ky} \sin kx$

## 常微分方程解

- 一阶线性微分方程

$$y' + Py = Q$$

过程

$$(1)、I = \int Pdx$$

$$(2)、\text{计算} e^I, e^{-I}$$

$$(3)、\text{计算} y = e^{-I} \int Qe^I dx + ce^{-1}$$

- 伯努利方程

$$y' + Py = Qy^n$$

- 二阶线性常系数微分方程

右边为0, 齐次

$$a_2 \frac{d^2 y}{dx^2} + a_1 \frac{dy}{dx} + a_0 y = 0$$

右边不为0

$$a_2 \frac{d^2 y}{dx^2} + a_1 \frac{dy}{dx} + a_0 y = f(x)$$

- 右边为零:

微分算子  $\frac{d}{dx}$   $y$  为  $D$

特征方程

(1) 两个不相等的实根  $D = a, D = b$ , 通解

$$y = c_1 e^{ax} + c_2 e^{bx}$$

(2) 两个相等的实根  $D = a, D = a$ , 通解

$$y = (Ax + B)e^{ax}$$

(3) 两个复根  $\alpha + i\beta, \alpha - i\beta$

$$y = e^{\alpha x} c_1 \sin \beta x + c_2 \cos \beta x,$$

$$y = ce^{\alpha x} \sin(\beta x + \gamma)$$

- 右边不为零:

$$a_2 \frac{d^2 y}{dx^2} + a_1 \frac{dy}{dx} + a_0 y = f(x)$$

通解

$$y = y_c + y_p$$

互补函数 $y_c$ 是齐次方程的通解, $y_p$ 是原方程特解

- 右边是指数

$$f(x) = ke^{cx}$$

齐次方程的特征方程根 $a, b$ , 特解 $Y_p$

$$\begin{cases} Ce^{cx}, & c \text{ 不等于 } a, b \\ Cxe^{cx}, & c \text{ 等于 } a, b \text{ 之一} \\ Cx^2e^{cx} & c, a, b \text{ 三者相等} \end{cases}$$

- 右边是三角函数, 化为指数形式

$$y'' + y' - 2y = 4\sin 2x$$

$e^{2ix} = \cos 2x + i \sin 2x$ , 则特解 $Y_p = Ce^{2ix}$

- 右边是一个指数乘以一个多项式

$$a_2 \frac{d^2 y}{dx^2} + a_1 \frac{dy}{dx} + a_0 y = e^{cx} P_n(x)$$

特解 $Y_p$ 为

$$Y_p = \begin{cases} e^{cx} Q_n(x), & c \text{ 不等于 } a, b \\ x e^{cx} Q_n(x), & c \text{ 等于 } a, b \text{ 之一} \\ x^2 e^{cx} Q_n(x) & c, a, b \text{ 三者相等} \end{cases}$$

$Q_n(x)$ 的结构与 $P_n(x)$ 相同，系数待定

右边有多项:叠加原理。每个不同的指数求解单独方程，再把所有解相加

[返回2.5](#)

## 3 扩散或热流方程;薛定谔方程

热流方程是

$$\nabla^2 u = \frac{1}{\alpha^2} \frac{\partial u}{\partial t} \quad (3.1)$$

$u$ 是温度， $\alpha^2$ 是热量流过物质的特性常数。

求解过程。先将(3.1)分离成一个空间方程和一个时间方程。空间方程不是一维的，再分离成 $x$ 和 $y$ 的常微分方程，或 $x, y, z$ 的常微分方程，或 $r, \theta, \phi$ 的常微分方程等。假设(3.1)解为

$$u = F(x, y, z)T(t). \quad (3.2)$$

(注意T含义的变化, 前一节T表示温度, 在这里u是温度, T是u的时间相关因子。把(3.2)代入(3.1)得

$$T\nabla^2 F = \frac{1}{\alpha^2} \frac{dT}{dt} \quad (3.3)$$

两边除以FT得

$$\frac{1}{F} \nabla^2 F = \frac{1}{\alpha^2} \frac{1}{T} \frac{dT}{dt} \quad (3.4)$$

等式的左边是只有空间变量x, y, z的函数, 右边是只有时间的函数, 因此两边都是相同的常数, 可得

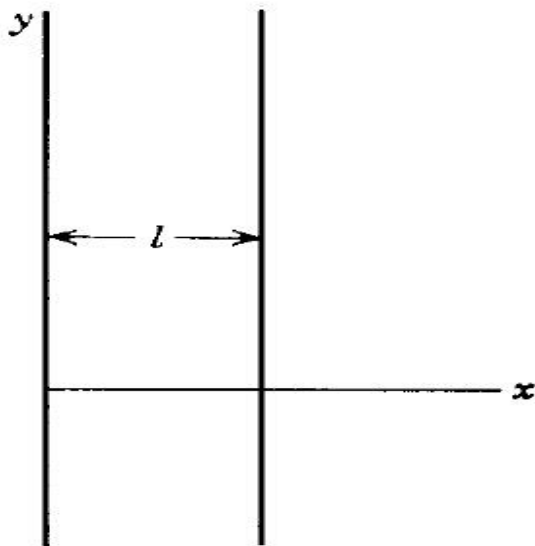
$$\begin{aligned} \frac{1}{F} \nabla^2 F = -k^2 \quad \nabla^2 F + k^2 F = 0 \quad \text{及} \\ \frac{1}{\alpha^2} \frac{1}{T} \frac{dT}{dt} = -k^2 \quad \frac{dT}{dt} = -k^2 \alpha^2 T \end{aligned} \quad (3.5)$$

对时间方程积分, 可得

$$T = e^{-k^2 \alpha^2 t} \quad (3.6)$$

可以看到选择分离常数 ( $-k^2$ ) 为负的物理原因。当t增加时, 在(3.6) 物体温度可下降到0, 但如果在(3.5) 和(3.6) 中使用 $+k^2$ 的话, 温度随时间增加, 没有极限。(3.5) 中的空间方程是亥姆霍兹方程(1.5)。(问题10) 波动方程的空间部分也是亥姆霍兹方程。

例1 现在考虑 $l$ 厚板的热量流动，如冰箱壁。假设板表面足够大，可忽略底端影响，并假设热量只在 $x$ 方向流动（图3.1）。这个问题和棒长度为 $l$ ，绝热边的的热流问题是一样的，因为在这两种情况下热流都是在 $x$ 方向上的。假设平板的初始状态是稳定的温度分布， $x = 0$ 为 $0^\circ$ ， $x = l$ 为 $100^\circ$ 。从 $t = 0$ 开始， $x = l$ （以及 $x = 0$ ）保持 $0^\circ$ 。求任何时间点任何 $x$ 的温度。



首先，求初始稳态温度分布。初始稳态温度是线性的。初始稳态温度 $u_0$ 满足拉普拉斯方程，一维情况下是 $\frac{d^2 u_0}{dx^2} = 0$ 。方程的解是 $u_0 = ax + b$ ，其中 $a$ 和 $b$ 是常数， $a, b$ 通过符合给定条件求出。因在 $x = 0, u_0 = 0$ ，在 $x = l, u_0 = 100$ ，有

$$u_0 = \frac{100}{l}x \quad (3.7)$$

从 $t=0$ 开始， $u$ 满足热流方程（3.1），已分离变量， $T(t)$ 由（3.6）给出， $F(x)$ 满足（3.5）第一个方程，解是（3.2），即

$$\nabla^2 F + k^2 F = 0 \quad \text{或} \quad \frac{d^2 F}{dx^2} + k^2 F = 0 \quad (3.8)$$

（对这一维问题， $F$ 是只有 $x$ 的函数）（3.8）的解是



$$F(x) = \begin{cases} \sin kx, \\ \cos kx, \end{cases} \quad (3.9)$$

(3.2) 解是

$$F(x) = \begin{cases} e^{-k^2 \alpha^2 t} \sin kx, \\ e^{-k^2 \alpha^2 t} \cos kx, \end{cases} \quad (3.10)$$

消去 $\cos kx$ 解，因为在 $x = 0$ ， $u = 0$ 。在 $x = l$ 时要得到 $u = 0$ ，则 $\sin kl = 0$ ，也就是 $kl = n\pi$ 或 $k = n\pi/l$ （特征值），基函数（特征函数）

$$u = e^{-(n\pi\alpha/l)^2 t} \sin \frac{n\pi x}{l} \quad (3.11)$$

问题的解是级数

$$u = \sum_{n=1}^{\infty} b_n e^{-(n\pi\alpha/l)^2 t} \sin \frac{n\pi x}{l} \quad (3.12)$$

在 $t = 0$ ，要使 $u = u_0$

$$u = \sum_{n=1}^{\infty} b_n \sin \frac{n\pi x}{l} = u_0 = \frac{100}{l} x \quad (3.13)$$

这意味着在 $(0, l)$ 上求 $(100/l)x$ 的傅里叶级数。系数为（见问题1）

$$b_n = \frac{100}{l} \frac{2l}{\pi} \frac{1}{n} (-1)^{n-1} = \frac{200}{\pi} \frac{(-1)^{n-1}}{n} \quad (3.14)$$

将 (3.14) 代入 (3.12)，得最终解

$$u = \frac{200}{\pi} \sum_{n=1}^{\infty} \frac{(-1)^{n-1}}{n} e^{-(n\pi\alpha/l)^2 t} \sin \frac{n\pi x}{l} \quad (3.15)$$

例2，对这问题做一些改变。假设表面最终温度是不等于0的两个常数。对于初始稳态，最终稳态是距离的线性函数。级数 (3.12) 趋向于最终稳定状态为0。为得到趋向于其他最终稳定状态的解，(3.12) 加线性函数  $u_f$  表示最终稳态。不同于 (3.12)，有

$$u = \sum_{n=1}^{\infty} b_n e^{-(n\pi\alpha/l)^2 t} \sin \frac{n\pi x}{l} + u_f \quad (3.16)$$

对  $t=0$ ，对应于 (3.13) 的方程是

$$u_0 = \sum_{n=1}^{\infty} b_n \sin \frac{n\pi x}{l} + u_f \quad (3.17)$$

或

$$u_0 - u_f = \sum_{n=1}^{\infty} b_n \sin \frac{n\pi x}{l} \quad (3.18)$$

因此，当  $u_f \neq 0$  时，为  $u_0 - u_f$  而不是  $u_0$ ，须用傅里叶级数展开

- 绝热边界

到目前为止，都是给定边界温度。可以绝热，没有热量流入或流出。温度的法向导数 $\frac{\partial u}{\partial n}$ 在边界为0。给定u边的值，称为狄利克雷问题，给定导数 $\frac{\partial u}{\partial n}$ ，称为范力曼问题。一维绝热情况，用 $x=0, x=l$ 时 $\frac{\partial u}{\partial x}=0$ 替换 $x=0, u=0$ 。意味着(3.10)中的有效解包含 $\cos kx$ ，须包括常数项（对应于 $k=0$ ）

## 薛定谔方程

比较方程(1.3)和(1.6)。如果 $V=0$ 两个方程有相同的形式，在一般的方程中(1.6)分离变量。可比较(3.2)

$$\Psi = \psi(x, y, z)T(t) \quad (3.19)$$

(3.19)代入(1.6)，除以 $\Psi$

$$\frac{-h^2}{2m} \frac{1}{\psi} \nabla^2 \psi + V = i\hbar \frac{1}{T} \frac{dT}{dt} = E \quad (3.20)$$

$E$ 是分离常数比较(3.5)。在量子力学中， $E$ 代表粒子的能量。对时间方程积分

$$T = e^{-iEt/\hbar} \quad (3.21)$$

空间方程，称为时间无关的Schrodinger方程，是

$$\frac{-h^2}{2m} \nabla^2 \psi + V\psi = E\psi \quad (3.22)$$

对一维问题，当 $V=0$ ，有

$$-\frac{h^2}{2m} \frac{d^2\psi}{dx^2} = E\psi \quad \text{或} \quad \frac{d^2\psi}{dx^2} + \frac{2mE}{h^2}\psi = 0 \quad (3.23)$$

即 (3.8)  $k^2 = 2mE/h^2$ 。因此 (3.23) 解与 (3.9) 相同，相应  $\Psi$  解是

$$\Psi = \psi(x)T(t) = \begin{cases} \sin kx \\ \cos kx \end{cases} e^{-iEt/h} \quad (3.24)$$

例：在量子力学中“盒子里的粒子问题”需薛定谔方程，在  $(0, l)$ ， $V = 0$ ，在端点  $x = 0$ ， $x = l$ ， $\Psi = 0$ 。这时波函数  $\Psi$  描述了限制在 0 和  $l$  之间的粒子。如热流问题一样，在  $x=0$ ， $\Psi=0$  时，正弦解， $x = l$  时  $\Psi = 0$ ，要求  $k = n\pi/l$ 。因  $k^2 = 2mE/h^2$ ，求得  $E = h^2/2m(n^2\pi^2)/l^2$ ，基本函数是特征函数

$$\Psi_n = \sin \frac{n\pi x}{l} e^{-iEnt/h} \quad (3.25)$$

把  $\Psi(x, t)$  是其线性组合

$$\Psi_n(x, t) = \sum_{n=1}^{\infty} b_n \sin \frac{n\pi x}{l} e^{-iEnt/h} \quad (3.26)$$

初始状态  $\Psi(x, 0)$  与 in (3.7) 函数相同， $b_n$  系数与 (3.14) 相同，有

$$\Psi_n(x, t) = \frac{200}{\pi} \sum_{n=1}^{\infty} \frac{(-1)^{n-1}}{n} \sin \frac{n\pi x}{l} e^{-iEnt/h} \quad (3.27)$$

见问题 11 和 12；及 6.6 到 6.8，7.17 到 7.22.

## 4 波动方程；弦振动

拉紧绳，如架钢琴或小提琴弦，两端固定在 $x = 0$ 及 $x = l$ 。弦振动时，离平衡位置的垂直位移 $y$ ，取决 $x$ 及时间 $t$ 。假设 $y$ 很小，弦的斜率 $\partial y / \partial x$ 任何时候任何点都很小，即弦没有远离平衡位置。弦长度和支撑点距离也不变，尽管弦在平衡位置振动时会稍有延伸。在这些假设下，位移 $y(x, t)$ 满足一维波动方程

$$\frac{\partial^2 y}{\partial x^2} = \frac{1}{v^2} \frac{\partial^2 y}{\partial t^2} \quad (4.1)$$

常数 $v$ 为波速，取决于弦的张力和线密度，是弦上一点扰动沿弦方向传播的速度。为进行分离变量，代入

$$y = X(x)T(t) \quad (4.2)$$

由(4.1)得(问题3.10)

$$\frac{1}{X} \frac{d^2 X}{dx^2} = \frac{1}{v^2} \frac{1}{T} \frac{d^2 T}{dt^2} = -k^2$$

或

$$\begin{aligned} X'' + k^2 X &= 0, \\ \ddot{T} + k^2 v^2 T &= 0 \end{aligned} \quad (4.3)$$

这里使用一个负的分离常数。振动的解用三角函数 $\sin$ 和 $\cos$ 表示，而不用实指数表示，因用实数 $k$ 的 $+k^2$ ，不能满足边界条件。

讨论波现象用下列符号（见第7章，问题2.17）

$\nu = \text{频率}(\text{sec}^{-1})$

$\omega = 2\pi\nu = \text{角频率}$

$v = \lambda\nu$

$\lambda = \text{波长}$

$$k = \frac{2\pi}{\lambda} = \frac{2\pi\nu}{v} = \frac{\omega}{v} = \text{波数}$$

这两个方程 (4.3) 的解是

$$X = \begin{cases} \sin kx, \\ \cos kx, \end{cases} \quad T = \begin{cases} \sin kvt = \sin \omega t, \\ \cos kvt = \cos \omega t, \end{cases} \quad (4.4)$$

对  $y$  (4.2) 的解是

$$y = \begin{cases} \sin kx \\ \cos kx \end{cases} \begin{cases} \sin \omega t \\ \cos \omega t \end{cases} \quad \omega = kv \quad (4.5)$$

因为弦固定在  $x = 0$  和  $x = l$  两端, 对所有  $t$ ,  $y = 0$ 。这意味着 (4.5) 只有  $\sin kx$  因子, 选择  $k$  使  $\sin kl = 0$  或  $k = n\pi/l$ , 得解:

$$y = \begin{cases} \sin \frac{n\pi x}{l} \sin \frac{n\pi vt}{l} \\ \sin \frac{n\pi x}{l} \cos \frac{n\pi vt}{l} \end{cases} \quad (4.6)$$

(4.6) 给定问题的解的线性组合取决于初始条件

假设弦拨动后开始振动的, 即在弦中间拉开一小段距离  $h$ , 然后放手。  
 $t = 0$  时弦的形状为  $y_0 = f(x)$ , 如图 4.1 所示。弦上一点的速度  $\partial y / \partial t$  在  $t = 0$  时为零。 $\partial y / \partial t$  与波速  $v$  没有关系, 不要混淆。(4.6) 中包含  $\sin(n\pi vt/l)$  的项, 当  $t = 0$  时时间导数不是零, 须舍去。因此, 基函数是  $\sin(n\pi x/l) \cos(n\pi vt/l)$ , 解的形式是

$$y = \sum_{n=1}^{\infty} b_n \sin \frac{n\pi x}{l} \cos \frac{n\pi vt}{l} \quad (4.7)$$

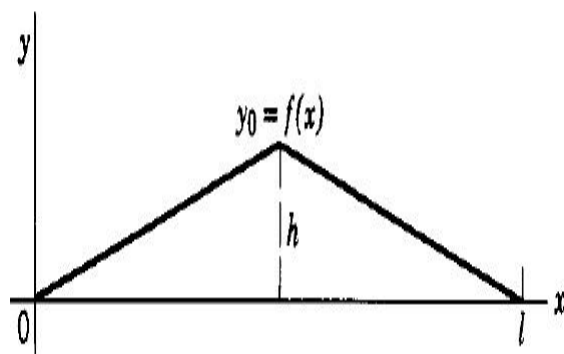


图4. 1

系数 $b_n$ 由 $t = 0$ 时,  $y_0 = f(x)$ 确定, 即

$$y_0 = \sum_{n=1}^{\infty} b_n \sin \frac{n\pi x}{l} = f(x) \quad (4.8)$$

如前述, 求出给定 $f(x)$ 的傅里叶级数系数, 并代入(4.7)。结果是(问题1)

$$y = \frac{8h}{\pi^2} \sin \frac{\pi x}{l} \cos \frac{\pi vt}{l} - \frac{1}{9} \sin \frac{3\pi x}{l} \cos \frac{3\pi vt}{l} + \dots \quad (4.9)$$

使弦振动的另一种方法是击打, 如弹钢琴弦。在这种情况下, 初始条件 $t = 0$ 时 $y = 0$ , 及 $t = 0$ 时 $\partial y / \partial t$ 为 $x$ 的函数。也就是说,  $t = 0$ 时, 弦上的点给定初速度。这时须舍去(4.6)中 $\cos(n\pi vt/l)$ 项, 因为在 $t = 0$ 时不为零。基函数是 $\sin(n\pi x/l) \sin(n\pi vt/l)$ , 解形式为

$$y = \sum_{n=1}^{\infty} B_n \sin \frac{n\pi x}{l} \sin \frac{n\pi vt}{l} \quad (4.10)$$

系数由以下方程确定

$$\left(\frac{\partial y}{\partial t}\right)_{t=0} = \sum_{n=1}^{\infty} B_n \sin \frac{n\pi x}{l} \cos \frac{n\pi x}{l} = \sum_{n=1}^{\infty} b_n \sin \frac{n\pi x}{l} \quad (4.11)$$

也就是说初始速度 $V(x)$ ，须用傅里叶级数中（见问题5到8）

弦以这样的方式振动，则(4.6)对某一 $n$ 值可只有一个解，而不是 $y$ 的无穷级数，

$$y = \sin \frac{n\pi x}{l} \sin \frac{n\pi vt}{l} \quad (4.12)$$

对任何 $t$ ， $\sin(n\pi vt/l)$ 的最大值是1，弦的形状是

$$y = \sin \frac{n\pi x}{l} \quad (4.13)$$

$n=1, 2, 3, 4$ 时(4.13)的形状如图4.2所示。注意位移实际上是非常小的。

考虑弦上的点 $x$ ， $\sin(n\pi x/l)$ 是确定数，比如 $A$ ，这个点在 $t$ 时刻位移是（由4.12导出）

$$y = A \sin \frac{n\pi vt}{l} \quad (4.14)$$

弦上此点以频率 $v_n$ 随时间振荡，频率是 $v_n$ ， $\omega_n = \frac{n\pi v}{l} = 2\pi v_n$ ，或 $v_n = \frac{nv}{2l}$ 。振幅是 $A = \sin(n\pi x/l)$ （参见图4.2）。其他点振幅不同，但频率相同。这是弦产生的音符的频率（见第7章第10节）。如果 $n=1$ （见图4.2），频率为 $v/(2l)$ ，在音乐中，这种音调称为基频、基波或第一谐波。如果 $n=2$ ，频率是基频的两倍，称为第一泛音或第二次谐波等。弦产



生的所有频率都是基频的整数倍，称为弦的特征频率或倍频，与特征值  $k = n\pi/l$  成正比。弦振动产生只有一个频率的纯音的相应方式称为简正振动模式，如 (4.2) 的  $y$  只有一个  $n$  值。图 4.2 中显示了前 4 个简正振动模式。任何振动都是简正振动模式的组合，例如 (4.9) 或 (4.10)。对 (4.12) 一个  $n$  解描述的简正模式，称特征函数。

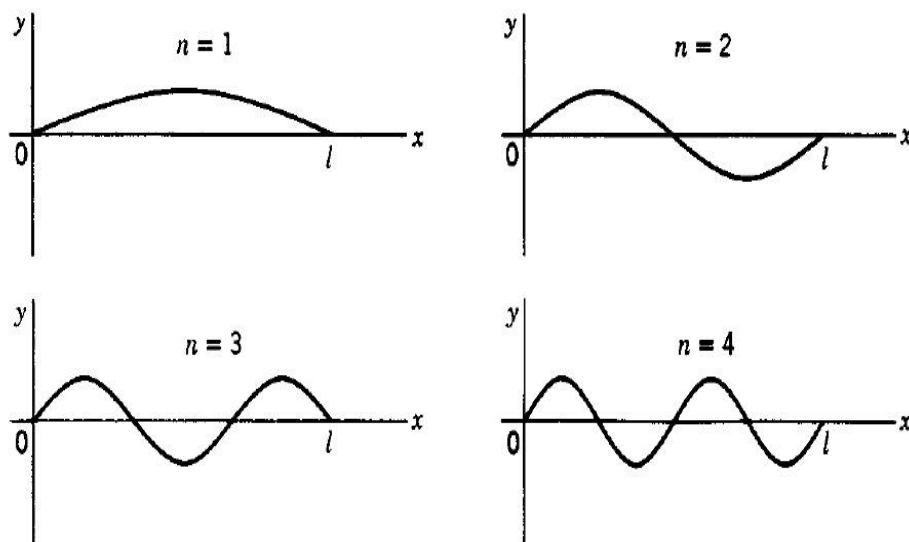


图 4.2 中波形称为驻波。波方程的达朗贝尔特解（见问题 1.2）为行波。假设将两个向相反方向运动的行波合并如下：

$$\cos k(x-vt) - \cos k(x+vt) = 2 \sin kx \sin kv t \quad (4.15)$$

(通过一个三角公式)。这是 (4.5) 的一个解，两个行波的组合产生了一个驻波。假设这两个行波沿着两端固定在  $x=0$  和  $x=l$  的弦运动，首先考虑  $\cos k(x+vt)$  沿  $x$  负方向向  $x=0$  移动。当它达到  $x=0$  时反射，入射波和反射波的组合对于所有  $t$  在  $x=0$  时必等于 0。波  $\cos k(x-vt)$  是  $-\cos k(x+vt)$  的反射。考虑  $\cos k(x-vt)$  往  $x=l$  方向移动，到达  $x=l$  反射。可以验证 (第 10 题)，如果  $k = n\pi/l$ ， $x=l$  反射，是  $-\cos \frac{n\pi}{l}(x+v)$ 。可以认为谐波在  $x=0$  和  $x=l$  固定端点之间来回移动，在两端反射，成为同频率的反向波。从 (4.15) 可以看出，原来的波与

反向波叠加，最终结果是驻波。两端固定弦的运动由一系列驻波叠加而成。

到目前为止，都是考虑两端固定的弦的问题。也可以有一个“自由”的情况，可以沿着 $x=0$ 或 $x=l$ 自由地上下移动，比如末端沿着无摩擦轨迹滑动。

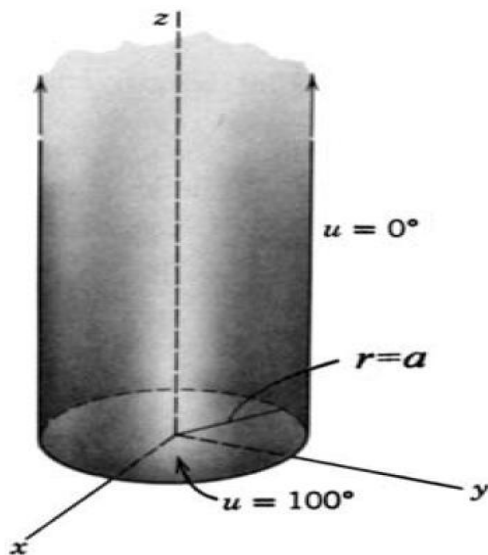
自由端的条件是 $\partial y / \partial x = 0$ 。如果 $x = 0$ 端是自由的，选择的解包含 $\cos kx$ ，因为在 $x = 0$ ， $\partial / \partial x \cos kx = -k \sin kx = 0$ 。如果弦固定在 $x = l$ ，要使 $\cos kl = 0$ ，则 $kl = \pi(n + 1/2)\pi$ 。当 $x = 0$ 端自由， $x = l$ 端固定，初始弦速度为0，基函数是

$$y = \cos \frac{(n + 1/2)\pi x}{l} \cos \frac{(n + 1/2)\pi vt}{l} \quad (4.16)$$

关于这些函数的讨论，参见第7章第11节和第11章11节

## 5 圆柱体稳态温度

考虑以下问题。在一个半径为 $a$ 的半无限固体圆柱(图5.1)中，基座温度 $100^\circ$ ，圆柱曲面侧温度 $0^\circ$ ，求稳态温度分布。



这个问题与半无限平板的温度分布问题很相似。变量是圆柱坐标 $r, \theta, z$ 。由于边界条件是 $r = a, u = 0$ ，而不是 $x$ 或 $y$ 的值，不便于在直角坐标系中求解。圆柱体内温度满足拉普拉斯方程，因为没有热源。

在柱坐标下的拉普拉斯方程是（见第10章，第9节）

$$\nabla^2 u = \frac{1}{r} \frac{\partial}{\partial r} \left( r \frac{\partial u}{\partial r} \right) + \frac{1}{r^2} \frac{\partial^2 u}{\partial \theta^2} + \frac{\partial^2 u}{\partial z^2} = 0 \quad (5.1)$$

为分离变量，假设解的形式为

$$u = R(r)\Theta(\theta)Z(z) \quad (5.2)$$

(5.2) 代入到 (5.1) 并除以 $R\Theta Z$

$$\frac{1}{R} \frac{1}{r} \frac{d}{dr} \left( r \frac{dR}{dr} \right) + \frac{1}{\Theta} \frac{1}{r^2} \frac{d^2 \Theta}{d\theta^2} + \frac{1}{Z} \frac{d^2 Z}{dz^2} = 0 \quad (5.3)$$

最后一项是只有 $z$ 的函数，而另外两项不包含 $z$ ，所以最后一项是常数。前两项的和，是与最后一项相同的常数。注意，前两项都不是常数，因为都包含 $r$ 。

为了使其中一项是常数，须确保：

- (a) 它是只有一个变量的函数，
- (b) 这个变量没有出现在方程的其他地方

由于最后一项是常数，有

$$\frac{1}{Z} \frac{d^2 Z}{dz^2} = K^2, \quad Z = \begin{cases} e^{Kz} \\ e^{-Kz} \end{cases} \quad (5.4)$$

$z$ 趋向于无穷时，要让温度 $u$ 趋于零，分离常数为 $+K^2$  ( $K > 0$ )，因此只取 $e^{-Kz}$ 解。(5.3) 最后一项用 $K^2$ 取代，参见(5.4)

$$\frac{1}{R} \frac{1}{r} \frac{d}{dr} \left( r \frac{dR}{dr} \right) + \frac{1}{\Theta} \frac{1}{r^2} \frac{d^2 \Theta}{d\theta^2} + K^2 = 0$$

通过乘以 $r^2$ 分离变量。

$$\frac{r}{R} \frac{1}{r} \frac{d}{dr} \left( r \frac{dR}{dr} \right) + \frac{1}{\Theta} \frac{d^2 \Theta}{d\theta^2} + K^2 r^2 = 0 \quad (5.5)$$

在(5.5)中，第二项是唯一的 $\theta$ 函数，而其他项独立于 $\theta$ 。因此第二项为常量，有

$$\frac{1}{\Theta} \frac{d^2 \Theta}{d\theta^2} = -n^2, \Theta = \begin{cases} \sin n\theta \\ \cos n\theta \end{cases} \quad (5.6)$$

用 $-n^2$ 作为分离常数，且 $n$ 为整数，原因如下：当用极坐标来定位一个点时，可以选择角度 $\theta$ ，也可选 $\theta + 2m\pi$ ， $m$ 为任意整数。但是不管 $m$ 的值是多少，都为一个点和相应的温度。这个点的温度的数学方程必须在 $\theta$ ， $\theta + 2m\pi$ 都有相同的值，温度必须是周期为 $2\pi$ 的周期函数。因负分离常数， $\Theta$ 解是正弦和余弦函数，而不是指数，因此常数 $n$ 是整数，以得到 $2\pi$ 周期。

$n = 0$  时(5.6)的解是 $\theta$ 和常数。因为 $\theta$ 不是周期函数，只能用当 $n = 0$ 时包含在 $\cos n\theta$ 中的常数解。

$r$ 方程是

$$\begin{aligned} \frac{r}{R} \frac{d}{dr} \left( r \frac{dR}{dr} \right) - n^2 + K^2 r^2 &= 0 \\ r \frac{d}{dr} \left( r \frac{dR}{dr} \right) + (K^2 r^2 - n^2) R &= 0 \end{aligned} \quad (5.7)$$

这是贝塞尔方程，有解 $J_n(Kr)$ 和 $N_n(Kr)$ ，见第12章方程(16.5)。由于圆柱体的底部包含原点，所以只能用 $J_n$ ，而不是 $N_n$ 解，因为 $N_n$ 在原点处变得无限大。因此有

$$R(r) = J_n(Kr) \quad (5.8)$$

圆柱体曲面温度为0，可利用此条件求K的可能值。当对所有 $\theta$ 和 $z$ ， $r = a$ 时，或当 $r = a$ ， $R(r) = 0$ 时， $u = 0$ 。从(5.8)可知 $J_n(Ka) = 0$ ，也就是说， $K_a$ 的可能值是 $J_n$ 的零点。如果定义 $k = Ka$ ，或者 $K = k/a$ ，那么

$$R(r) = J_n(kr/a) \quad Z(z) = e^{-kz/a} \quad (5.9)$$

u的解是

$$u = \begin{cases} J_n(kr/a) \sin n\theta e^{-kz/a} \\ J_n(kr/a) \cos n\theta e^{-kz/a} \end{cases} \quad (5.10)$$

对于该问题，圆柱体基座保持 $100^\circ$ 恒定温度。如果我们把圆柱旋转到任何角度，边界条件不会改变。因此，解不依赖于角度 $\theta$ 。这意味着在(5.10)中使用 $\cos n\theta$ ， $n = 0$ 。 $k$ 的可能值是 $J_0$ 的零点，称 $k_m$ 点， $m = 123\dots$ ，因此可得基函数，以基函数为项的解为：

$$u = \sum_{m=1}^{\infty} c_m J_0(k_m r/a) e^{-k_m z/a} \quad (5.11)$$

当  $z = 0$ ,  $u = 100$ , 即

$$u_{z=0} = \sum_{m=1}^{\infty} c_m J_0(k_m r/a) = 100 \quad (5.12)$$

这里要在贝塞尔函数级数中展开100，而不是正弦或余弦函数级数。我们已经证明了[第12章，方程 (19.11)] 关于权函数  $r$ ，函数  $J_0(k_m r/a)$  正交于  $(0, a)$ ，可以用与傅里叶正弦或余弦级数中同样的方法求出

(5.12) 系数  $c_m$ 。(事实上，像 (5.12) 的级数通常称为傅里叶贝塞尔级数)。(5.12) 乘以  $r J_0(k_\mu r/a)$ ,  $\mu = 1, 2, 3, \dots$  从  $r = 0$  到  $r = a$  的积分，因为正交性[见第12章，方程 (19.11)]，除了  $m = \mu$  项，级数所有项都消去，我们有

$$c_\mu \int_0^a r [J_0(k_\mu r/a)]^2 dr = \int_0^a 100 J_0(k_\mu r/a) dr \quad (5.13)$$

对于每一个  $\mu = 1, 2, 3, \dots$  的值，方程 (5.13) 给出了 (5.11) 和 (5.12) 其中一个系数。因此，(5.11) 中的任何  $c_m$  都从 (5.13) 由  $m$  代替  $\mu$  而得

我们需要计算 (5.13) 的积分。第12章方程 (19.11) 给出 ( $p = 0$ ,  $\alpha = \beta = k_m$ )

$$\int_0^a r |J_0(k_m r/a)|^2 dr = \frac{a^2}{2} J_1^2(k_m) \quad (5.14)$$

$$\frac{d}{dx} [x J_1(x)] = x J_0(x)$$

由12章的15.1方程

如果在方程中设  $x = k_m r/a$ , 我们得到

$$\frac{a}{k_m} \frac{d}{dr} [(k_m r/a) J_1(k_m r/a)] = (k_m r/a) J_0(k_m r/a)$$

消去一个  $k_m/a$  因子并从0到a积分, 有

$$\int_0^a r J_0(k_m r/a) dr = \frac{a}{k_m} J_1(k_m r/a) \Big|_0^a = \frac{a^2}{k_m} J_1(k_m) \quad (5.15)$$

现在由 (5.13)  $c_m$ , 代入 (5.14) 和 (5.15) 的积分值, 并解出  $c_m$ 。结果是

$$c_m = \frac{100a^2 J_1(k_m)}{k_m} \cdot \frac{2}{a^2 J_1^2(k_m)} = \frac{200}{k_m J_1(k_m)} \quad (5.16)$$

(5.11)的解,  $c_m$ 值由 (5.16) 给出。通过计算级数几个项 (问题1), 可以计算任何点的温度。的数值。贝塞尔函数零值可由电脑或查计算。 $k_m$  是  $J_0$  的零值, 而不是  $J_1$  的零值。

假设圆柱体底部给定温度不是常数, 而是更复杂的函数, 比如  $r, \theta$  的函数  $f(r, \theta)$ 。计算步骤 (5.10) 前是一样的, 但级数解要比 (5.11) 复杂, 因为  $J_n$  代替了  $J_0$ 。这时  $k$  需要双下标, 这是贝塞尔函数零点,  $k_m n$  的意思是  $J_n$  的第  $m$  个正零点,  $n = 0, 1, 2 \dots$  及  $m = 1, 2, 3 \dots$ 。温度  $u$  是双无穷级数, 是所有  $J_n$  的所有零点之和。

$$u = \sum_{m=1}^{\infty} \sum_{n=0}^{\infty} J_n(k_{mn} r/a) (A_{mn} / \cos n\theta + B_{mn} \sin n\theta) e^{-k_{mn} z/a} \quad (5.17)$$

要使  $z = 0$ ,  $u = f(r, \theta)$ ,

$$u_{z=0} = \sum_{m=1}^{\infty} \sum_{n=0}^{\infty} J_n(k_{mn}r/a)(A_{mn}/\cos n\theta + B_{mn} \sin n\theta) = (5.18)$$

为确定系数 $A_{mn}$ ，方程乘以 $J_\nu(k_{\mu\nu}r/a)\cos\theta$ ，在圆柱底座积分( $\theta$ 从0到 $2\pi$ ,  $r$ 从0到 $a$ )。由于 $\sin n\theta$ 和 $\cos n\theta$ 在 $(0, 2\pi)$ 函数正交性，所有 $B_{mn}$ 舍去，只有 $n = \nu$ 时 $A_{mn}$ 保留。由于函数的正交性 $J_n(k_mnr/a)$ (对 $n$ 的所有 $m$ )，只有一项 $A_\mu\nu$ 保留，因此有

$$\begin{aligned} & \int_0^a \int_0^{2\pi} f(r, \theta) J_\nu(k_{\mu\nu}r/a) \cos \nu\theta r dr \\ &= A_{\mu\nu} \int_0^a \int_0^{2\pi} J_\nu^2(k_{\mu\nu}r/a) \cos^2 \nu\theta r dr d\theta \\ &= A_{\mu\nu} \cdot \frac{a^2}{2} J_{\nu+1}^2(k_{\mu\nu}) \cdot \pi \end{aligned} \quad (5.19)$$

$r$ 积分由第12章的(19.11)求出，积分 $\theta$ 由第7章第4节求出。注意在贝塞尔函数积分中权重函数 $r$ 是如何作为极坐标一部分面积元的。同样可得

$$B_{\mu\nu} = \frac{2}{\pi a^2 J_{\nu+1}^2(k_{\mu\nu})} \int_0^a \int_0^{2\pi} f(r, \theta) J_\nu(k_{\mu\nu}r/a) \sin \nu\theta r dr d\theta$$

将(5.19)和(5.20)得到 $A$ 和 $B$ 系数的值代入(5.17)，问题得解。

## 6 圆膜振动

在圆周上有刚性支撑的圆膜，例如鼓点，求振动频率的特性，及对应简正振动模式。



以圆膜建立平面  $(x, y)$ ，圆膜中心为原点。设  $z(x, y, t)$  是圆膜离  $(x, y)$  面的位移。 $z$  满足波动方程

$$\nabla^2 z = \frac{1}{v^2} \frac{\partial^2 z}{\partial t^2} \quad (6.1)$$

设

$$z = F(x, y)T(t) \quad (6.2)$$

把 (6.1) 分离成一个空间方程（亥姆霍兹）和一个时间方程（见问题 3.10 和第 3 节），得

$$\nabla^2 F + K^2 F = 0 \quad \text{及} \quad T'' + K^2 v^2 T = 0 \quad (6.3)$$

因为膜是圆形，在极坐标下表示  $\nabla^2$ ， $F$  方程为

$$\frac{1}{r} \frac{\partial}{\partial r} \left( r \frac{\partial F}{\partial r} \right) + \frac{1}{r^2} \frac{\partial^2 F}{\partial \theta^2} + K^2 F = 0 \quad (6.4)$$

$$F = R(r)\Theta(\theta) \quad (6.5)$$

(6.4) 变成 (5.5)，分离方程及其解是 (5.6)，(5.7) 和 (5.8)。

(6.3) 时间方程的解是

$$\sin Kvt \text{ 和 } \cos Kvt$$

因此， $z$  的解是

$$z = R(r)\Theta(\theta)T(t)$$

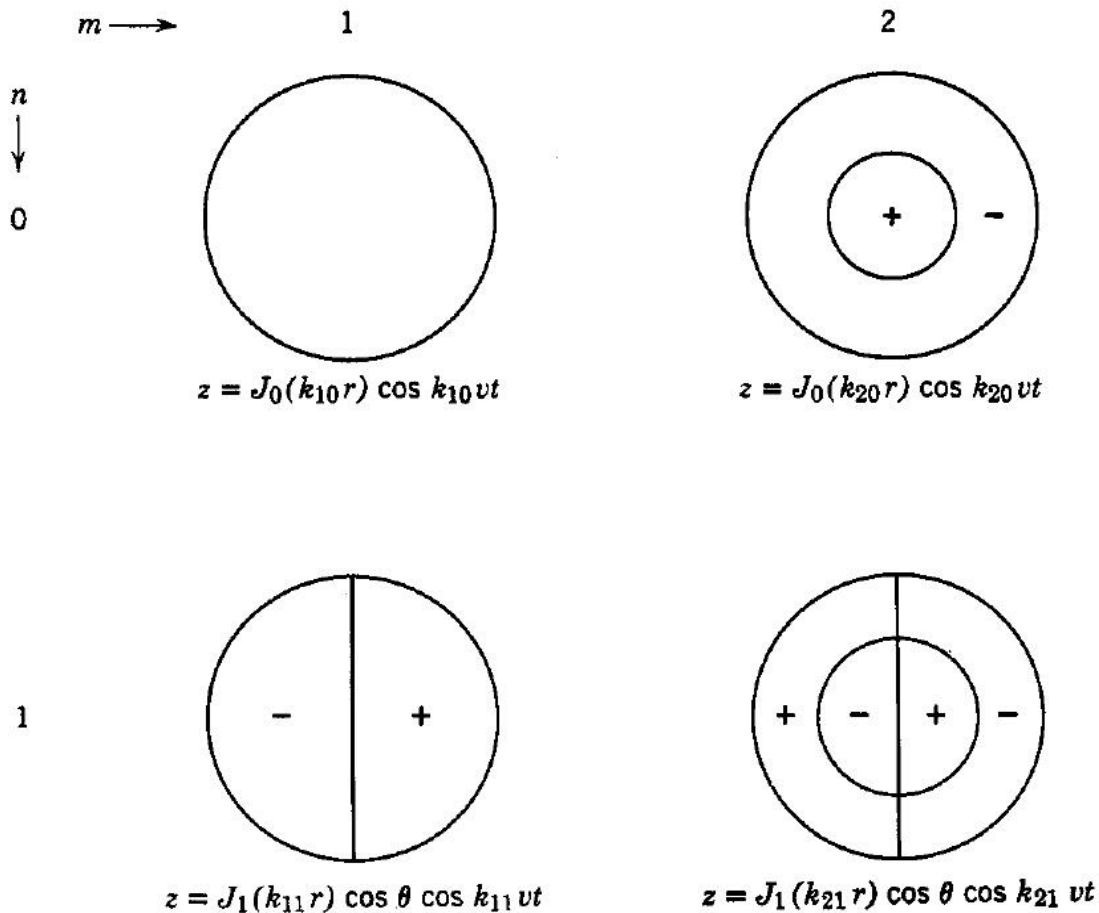
其中  $R(r) = J_n(Kr)$ ,  $\Theta(\theta) = \sin n\theta \cos n\theta$ ,  $T(t) = \sin Kvt$ ,  $\cos Kvt$ 。就像第5节一样,  $n$  是整数。为求  $K$  的可能值, 由圆膜固定在  $r = a$  的刚性范围的边界条件, 对所有  $\theta, t$ , 必有  $r = a$  时,  $z = 0$ 。因此  $J_n(Ka) = 0$ ,  $K_a$  的可能值是  $J_n$  的零点。如第5节中, 设  $k = Ka$ ,  $K = k/a$ , 那么每个  $J_n$  的可能值  $k$  是  $k_{mn}$ ,  $J_n$  的零点。解  $z$  为

$$z = J_n(kr/a) \begin{Bmatrix} \sin n\theta \\ \cos n\theta \end{Bmatrix} \begin{Bmatrix} \sin kvt/a \\ \cos kvt/a \end{Bmatrix} \quad (6.6)$$

对于给定的初始位移或膜的速度,  $z$  是双级数, 类似 (5.17) 圆柱体温度。这里研究不同的简正常振动模式和它们的频率。回想一下, 振动弦 (第4节), 每个  $n$  给出一个不同的频率和一个相应的简正振动模式 (图 4.2)。弦的频率是  $\nu_1 = nv/(2l)$ ; 所有频率都是基频  $\nu_1 = v/(2l)$  的整数倍。对于圆形膜, 频率是 [依 (6.6)]

$$\nu = \frac{\omega}{2\pi} = \frac{kv}{2\pi a}$$

$k$  的可能值是贝塞尔函数的零点  $k_{mn}$ 。  $k_{mn}$  的每个值都给出了一个频率  $\nu_{mn} = k_{mn}v/(2\pi a)$ , 得到双无限的特性频集和相应的简正振动模式。所有这些频率都是不同的, 不是基频的整数倍, 而弦振动是整数倍。这就是鼓的音乐性不如小提琴的原因。用计算机或查表, 可计算  $k_{mn}$  (问题 2), 并求出基频非整数倍的频率, (对应于  $k_{10}$ ,  $J_0$  的第一个零项。绘制对应于图 4.2 中弦振动的圆膜简正振动模式图形 (图 6.1), (6.6) 中的位移  $z$  对应的函数 (特征函数)。



为简单起见，只使用了图6.1 中的  $\cos n \cos kvt/a$  解。与  $k_{10}$  对应的基振动模式，圆膜整体振动。

在  $k_{20}$  模式下，振动分两部分，如图所示，当+部分向上振动，-部分向下振动，反之亦然，它们之间静止状态。可以证明有这样一个圆（称为节点线）并求出其半径。 $k_{20} > k_{10}$ ，圆  $r = ak_{10}/k_{20}$  是半径小于  $a$  的圆，是圆膜上的圆。对  $r$ ， $J_0(k_{20}r/a) = J_0(k_{20}k_{10}/k_{20}) = J_0(k_{10}) = 0$ ，所以这个圆上的点是静止的。对于  $k_{11}$  模式， $\cos \theta = 0$  时  $\theta = \pm \pi/2$ ，如图所示为正或负。以这种方式可以对任何简正模式绘图（问题1）。

在实验中很难获得物体振动的纯简正振动模式。在复杂振动会有这种节点的线，且容易观察到。洒在振动物体上的细沙会沿着没有振动的节线聚集，这是可以清楚看到的。

## 7 球体稳态温度

求半径 $a$ 的球体内稳态温度，上半部球面初始温度 $100^\circ$ ，下半部分球面温度 $0^\circ$ 。在球体内部温度 $u$ 满足拉普拉斯方程。球坐标拉普拉斯方程（见第10章，第9节）

$$\nabla^2 u = \frac{1}{r^2} \frac{\partial}{\partial r} \left( r^2 \frac{\partial u}{\partial r} \right) + \frac{1}{r^2} \frac{1}{\sin \theta} \left( \sin \theta \frac{\partial u}{\partial \theta} \right) + \frac{1}{r^2 \sin^2 \theta} \frac{\partial^2 u}{\partial \phi^2} \quad (7.1)$$

按一般过程方程分离。设

$$u = R(r)\Theta(\theta)\Phi(\phi) \quad (7.2)$$

代入 (7.1)，两边乘以 $r^2/R\Theta\Phi$

$$\frac{1}{R} \frac{d}{dr} \left( r^2 \frac{dR}{dr} \right) + \frac{1}{\Theta} \frac{1}{\sin \theta} \frac{d}{d\theta} \left( \sin \theta \frac{d\Theta}{d\theta} \right) + \frac{1}{\Phi} \frac{1}{\sin^2 \theta} \frac{d^2 \Phi}{d\phi^2} = 0 \quad (7.3)$$

(7.3) 乘以 $\sin^2 \theta$ ，最后一项就变了只有 $\theta$ 的函数，而其他项不包含 $\theta$ ，可得 $\theta$ 方程及其解：

$$\frac{1}{\Phi} \frac{d^2 \Phi}{d\phi^2} = -m^2, \quad \Phi = \begin{cases} \sin m\phi, \\ \cos m\phi \end{cases} \quad (7.4)$$

分离常数须是负的， $\Phi$ 为 $\phi$ 的周期函数， $m$ 须为整数，见 (5.6) 后的讨论  
方程 (7.3) 可写成

$$\frac{1}{R} \frac{d}{dr} \left( r^2 \frac{dR}{dr} \right) + \frac{1}{\Theta} \frac{1}{\sin \theta} \frac{d}{d\theta} \left( \sin \theta \frac{d\Theta}{d\theta} \right) - \frac{m^2}{\sin^2 \theta} = 0 \quad (7.5)$$

第一项是 $r$ 的函数，后两项是 $\theta$ 的函数，可得两个方程

$$\frac{1}{R} \frac{d}{dr} \left( r^2 \frac{dR}{dr} \right) = k \quad (7.6)$$

$$\frac{1}{\sin \theta} \frac{d}{d\theta} \left( \sin \theta \frac{d\Theta}{d\theta} \right) - \frac{m^2}{\sin^2 \theta} \Theta + k\Theta = 0 \quad (7.7)$$

方程(7.7)与第十二章问题10.2比较可见方程(7.7)是 $k = l(l+1)$ 的关联勒让德函数。 $l$ 须是整数，以使勒让德方程的解有限，这时 $x = \cos \theta = \pm 1$ ， $\theta = 0$ 或者 $\pi$ 。对于关联勒让德函数的方程也一样。(7.7)的对应结果是 $k$ 必须是两个连续整数的乘积，用 $l(l+1)$ 代替 $k$ ， $l$ 是整数。(7.7)的解是关联勒让德函数（见问题10.2，第12章）

$$\Theta = P_l^m(\cos \theta) \quad (7.8)$$

在(7.6)中设 $k = l(l+1)$ ，可以很容易地验证（问题5.11），(7.6)的解是

$$R = \begin{cases} r^l, \\ r^{-l-1} \end{cases} \quad (7.9)$$

由于只求球体内部温度，舍去 $r^{-l-1}$ 的解，因为在原点处变得无限大。如果讨论水流量或静电势的相关问题，保留 $r^{-l-1}$ 的解，舍去 $r^l$ ，因为在无穷远处变得无穷大。

解的基函数是

$$u = r^l P_l^m(\cos \theta) \begin{cases} \sin m\phi \\ \cos m\phi \end{cases} \quad (7.10)$$

函数  $P_l^m(\cos\theta)\sin m\phi$  和  $P_l^m(\cos\theta)\cos m\phi$  称为球函数，通常表示为  $Y_l^m(\theta, \phi)$ ，见16题。如果在  $r = a$  时，表面温度是  $\theta$  和  $\phi$  的函数，得到对  $l$  和  $m$  双求和级数。由于表面温度给定：高半球  $100^\circ$ ，低半球  $0^\circ$ ，温度独立于  $\phi$ ，在 (7.10) 中，须  $m = 0$ ， $\cos m\phi = 1$ 。(7.10) 的解减少到  $r^l P_l(\cos\theta)$ 。问题的解为以下基函数的级数：

$$u = \sum_{l=0}^{\infty} c_l r^l P_l(\cos\theta) \quad (7.11)$$

当  $r = a$  时，用给定的温度来确定系数  $c_l$ ，须

$$\begin{aligned} u_{r=a} &= \sum_{l=0}^{\infty} c_l a^l P_l(\cos\theta) \\ &= \begin{cases} 100, & 0 < \theta < \frac{\pi}{2}, \text{ 即, } 0 < \cos\theta < 1, \\ 0, & \frac{\pi}{2} < \theta < \pi, \text{ 即, } -1 < \cos\theta < 0 \end{cases} \end{aligned} \quad (7.12)$$

(注意，这里  $x$  代表  $\cos\theta$ ，而不是坐标  $x$ ) 在第12章第9节中，将  $f(x)$  扩展为勒让德多项式，得：

$$u_{r=a} = \sum_{l=0}^{\infty} c_l a^l P_l(x) = 100f(x)$$

其中

$$f(x) = \begin{cases} 0, & -1 < x < 0, \\ 1, & 0 < x < 1 \end{cases}$$

这里 $x$ 代表 $\cos \theta$ , 而不是坐标 $x$

(7.13) 系数 $c_l$ 就是 $f(x)$ 系数乘以 $100/a^l$ 。将 $c'_l$ s代入 (7.11), 得最终解:

$$f(x) = \frac{1}{2}P_0(x) + \frac{3}{4}P_1(x) - \frac{7}{16}P_3(x) + \frac{11}{32}P_5(x) + \dots \quad (7.14)$$

$$u = 100 \left[ \frac{1}{2}P_0(\cos\theta) + \frac{3}{4}\frac{r}{a}P_1(\cos\theta) - \frac{7}{16}\left(\frac{r}{a}\right)^3P_3(\cos\theta) + \frac{11}{32}\left(\frac{r}{a}\right)^5P_5(\cos\theta) + \dots \right] \quad (7.15)$$

我们可以对这个问题做不同的处理。请注意, 到目前为止我们还没有提到我们使用的温标(摄氏温度, 华氏度, 绝对值, 等等)。调整到任何温标都较容易做到。如果 $u$ 是拉普拉斯方程 $\nabla^2 u = 0$ 的解, 或热流方程 $\nabla^2 u = (1/\alpha^2)\partial u/\partial t$ 的解, 对任意常数 $C$ ,  $u + C$ 和 $Cu$ 也是解。如果 (7.15) 的解增加到 $50^\circ$ , 球体内部的温度分布, 球面的上半部分 $150^\circ$ , 下半部分 $50^\circ$ 。如果我们把 (7.15) 解乘以2, 就得到球面温度 $200^\circ$ 和 $0^\circ$ 的温度分布, 以此类推。

赤道面 $\theta = \pi/2$ 或 $\cos\theta = 0$ , 其温度由方程(7.11) (7.15) 给出, 是介于顶部和底部球面温度, 勒让德级数, 如傅里叶级数一样收敛展开函数区间中点, 可依此展开得到赤道面的解。为了解决给定曲面和赤道平面温度的半球温度问题, 只需要在适当的位置适当的温度下给出所需的赤道平面平均温度。当赤道面温度为 $0^\circ$ , 这相当于定义函数 $f(x)$ 在(7.13)上 $(-1, 0)$ , 使其成为一个奇函数。